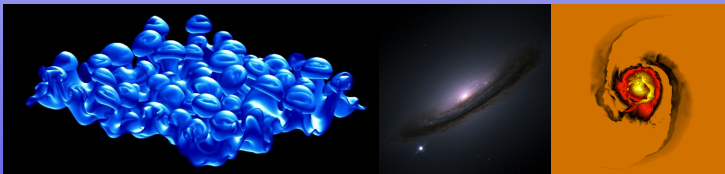


Podstawy astrofizyki i astronomii

Andrzej Odrzywołek

Zakład Teorii Względności i Astrofizyki, Instytut Fizyki UJ

7 czerwca 2016



Failed supernova

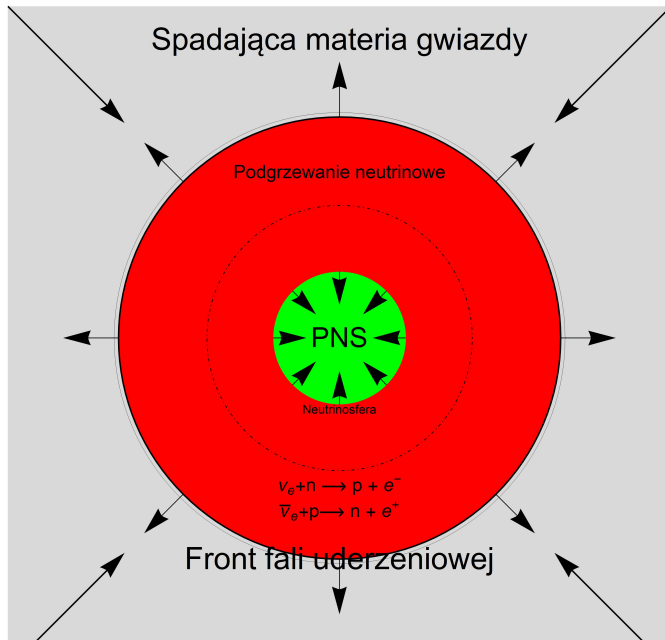
- 1 wytworzona podczas kolapsu fala uderzeniowa porusza się „pod prąd” spadającej do środka materii
- 2 aby doszło do eksplozji jej prędkość musi być większa niż prędkość spadającej materii
- 3 w rzeczywistości front fali efektywnie zatrzymuje się w miejscu
- 4 energia (skok) fali uderzeniowej tracona jest m.in. na podgrzewanie materii za frontem, dysocjację jąder atomowych i produkcję neutrin
- 5 w efekcie nie dochodzi do eksplozji, co jest sprzeczne z obserwacjami

Niemożność uzyskania energii eksplozji przekraczającej energię wiązania grawitacyjnego gwiazdy określamy jako **problem modelowania supernowej**, w domyśle typu implozyjnego (ang: core-collapse supernova).

W centrum eksplozji narodziła się młoda gwiazda neutronowa. Jej cechy to:

- promień rzędu kilkudziesięciu km
- uwięzione w środku neutrina
- powolne (w porównaniu do czasu kolapsu!) kurczenie się do $R \simeq 10$ km i stygnięcie poprzez emisję neutrin na skali czasowej rzędu 1 sekundy
- 99% energii grawitacyjnej wyzwolonej w kolapsie jest wypromieniowane w tej fazie w postaci ν i $\bar{\nu}$ wszystkich typów

Powierzchnię z której emitowane są neutrina nazywamy *neutrinosferą*. Istnieją trzy neutrinosfery, dla ν_e , ν_μ oraz ν_τ .



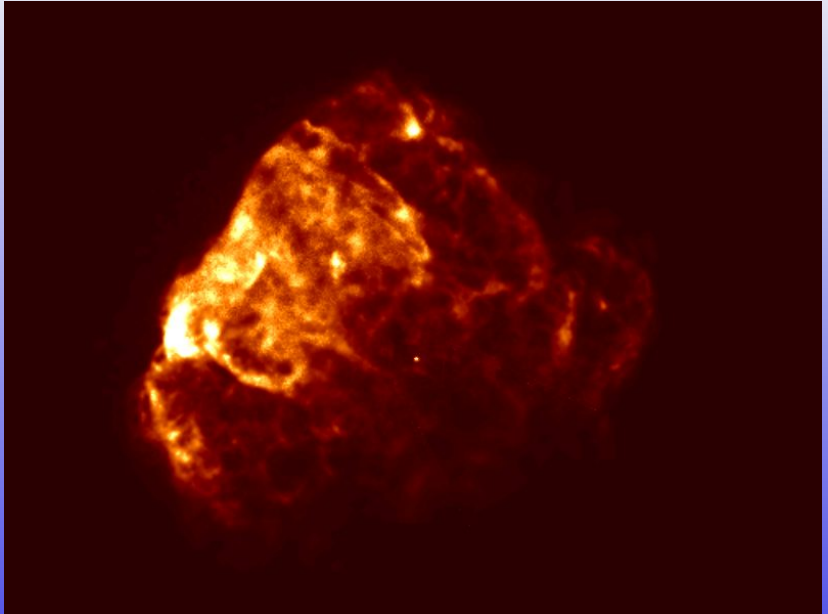
Podstawową techniką zwiększenia energii eksplozji sterowanej neutronowo jest zwiększenie czasu napromieniowania materii neutronami poprzez intensywne mieszanie materii za frontem fali uderzeniowej.

- proces mieszania nie zachodzi w symetrii sferycznej (tzw. symulacja 1D)
- w 1D droga cząstki do centrum jest najkrótsza możliwa (linia prosta wzdłuż promienia)
- w 2D można uchwycić kluczowe zjawiska, ale kosztem wzbudzenia potencjalnie niefizycznych niestabilności (SASI, odwrócona kaskada turbulentna, bardzo silne mody drgań o małym L)
- przykład symulacji 3D w modelu „light bulb” animacje: [entropia], [prędkość radialna]

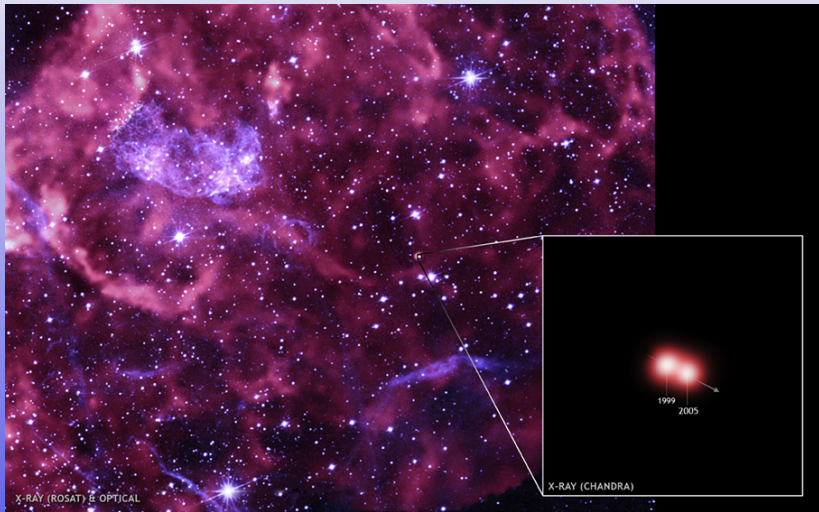
Przejsie do fazy mgławicowej

- mechanizm wybuchu operuje na skali czasowej kilku sekund
- dotarcie fali uderzeniowej do powierzchni zajmuje godziny [YouTube]
- osiągnięcie maksimum blasku następuje po kilku - kilkunastu dniach
- supernowa zanika na skali czasowej kilku lat
- przejście do fazy mgławicowej i pozostałości po supernowej to kolejne dziesiątki i setki lat
- pozostałość ulega rozproszeniu w ciągu tysięcy lat

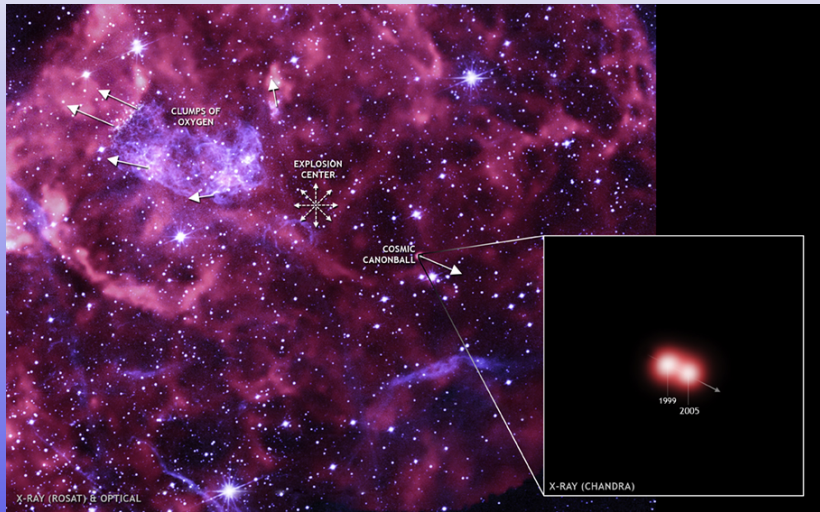
Asymetria eksplozji i wyrzuty gwiazd neutronowych



Asymetria eksplozji i wyrzuty gwiazd neutronowych

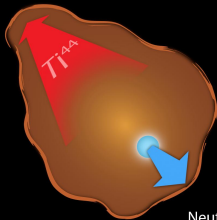


Asymetria eksplozji i wyrzuty gwiazd neutronowych

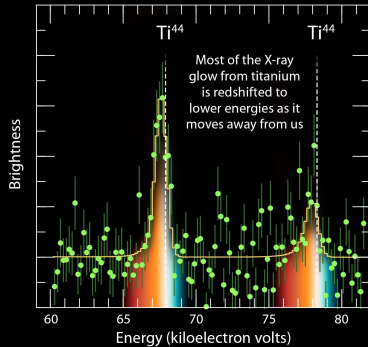


NuSTAR Sees Titanium Glow in Supernova 1987A

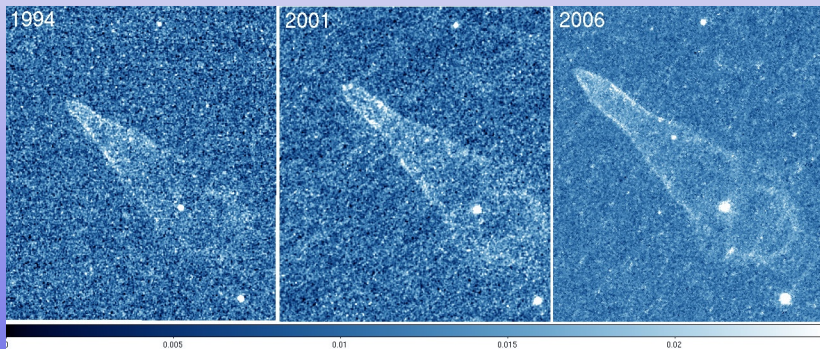
Asymmetric cloud of supernova debris
mostly thrown away from us



Neutron star
(not seen) kicked toward us



Asymetria eksplozji i wyrzuty gwiazd neutronowych



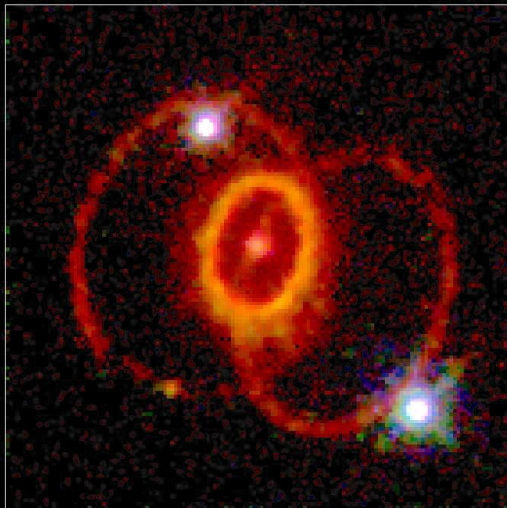
Mechanizm wyrzutu z prędkościami do $v_{NS} = 2000$ km/s.

- 1 zasada zachowania pędu układu gwiazda neutronowa ($M \simeq 1 - 2M_{\odot}$) - otoczka ($M \gg 10M_{\odot}$) [animacja]
- 2 zasada zachowania pędu układu gwiazda neutronowa - strumień neutrin; asymetria $\delta = 0.025$ emisji wystarcza do nadania obserwowanej prędkości)

$$\delta = \frac{M_{\odot} v_{NS}}{E_{SN}/c} \simeq 0.025$$

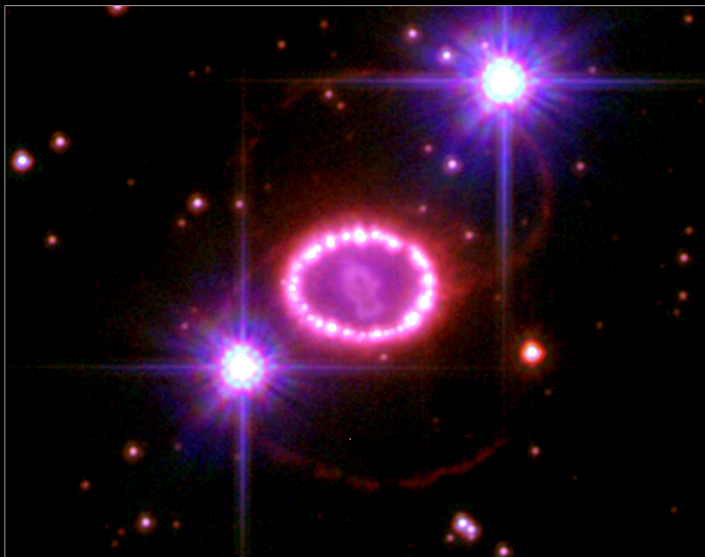
dla $E_{SN} = 3 \times 10^{53}$ erg.

Supernova 1987A Rings



Hubble Space Telescope
Wide Field Planetary Camera 2





Supernova 1987A • December 6, 2006
Hubble Space Telescope • Advanced Camera for Surveys

Wybuch supernowej prowadzący do powstania gwiazdy neutronowej nie jest jedynym możliwym skutkiem kolapsu.

- natychmiast lub z opóźnieniem (poprzez deleptonizację lub akrecję) może powstać czarna dziura
- obecnie jasne jest, że długie rozbłyski gamma (ang: **Gamma Ray Burst**) to także supernowe, obserwowane wzdłuż osi obrotu
- trudno obecnie wykluczyć możliwość, że mechanizm supernowej faktycznie czasem zawodzi, i niektóre masywne gwiazdy po prostu gasną pochłonięte przez czarną dziurę, która powstała w ich w centrum

Hipernowe

Wszystkie anomalnie jasne przypadki supernowych i ich modele zbiorczo określa się mianem hipernowych. Zwykle wiąże się je z:

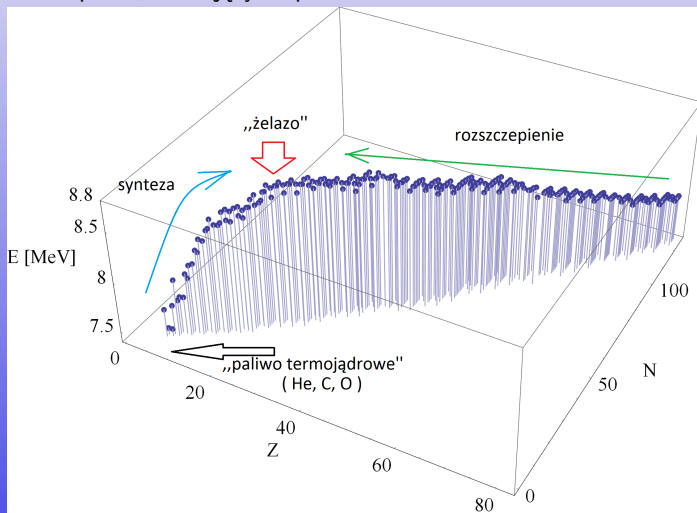
- powstaniem czarnej dziury w centrum
- bardzo szybką rotacją
- polami magnetycznymi
- asymetrią eksplozji obserwowanej pod uprzywilejowanym kątem
- produkcją jet-ów

Teoria supernowych termojądrowych (ang. thermonuclear supernova)

Czym jest supernowa termojądrowa ?

Upraszczając, SN Ia to po prostu gigantyczna bomba termojądrowa. Aby doszło do wybuchu potrzebujemy:

- 1 materiał wybuchowy w ilości rzędu $1 M_{\odot}$
- 2 zapalnik, działający z opóźnieniem wielu miliardów lat



Supernowe termojądrowe (typ Ia) są odmiennym od implozyjnych zjawiskiem astrofizycznym, przy ich modelowaniu nie natrafiono na fundamentalne trudności. Z powodu zastosowania w kosmologii jako indykatorów odległości, od teorii oczekujemy konkretnych i precyzyjnych informacji.

Pytanie I: co wybucha jako SN typu Ia?

- 1 akreujący biały karzeł w układzie podwójnym ze zwykłą gwiazdą (mechanizm opóźniający: akrecja)
- 2 układ podwójny **dwóch** białych karłów (mechanizm opóźniający: fale grawitacyjne)
- 3 pojedynczy, np: szybko rotujący, biały karzeł lub samozapłon w wyniku niestandardowych procesów fizycznych (mechanizm opóźniający: spowolnienie obrotu, małe prawdopodobieństwo)

Pytanie II: w jaki sposób przebiega wybuch?

- 1 deflagracja (płomień termojądrowy)
- 2 detonacja (zapłon na froncie fali uderzeniowej)

Kluczowe fakty wynikające z teorii ewolucji gwiazd pojedynczych:

- w układzie podwójnym, bardziej masywny składnik ewoluuje szybciej
- w związku z powyższym, pierwszy staje się czerwonym olbrzymem i wypełnia powierzchnię Roche'a
- dochodzi do transferu masy, zmian orbity i zmian w rozmiarze strefy Roche'a

Gromadzenie się wodoru na powierzchni białego karła na ogół prowadzi do kwazi-okresowych eksplozji, które obserwujemy jako *gwiazdy nowe*. W wyniku tego, biały karzeł może zyskiwać na masie na masie, co może doprowadzić do osiągnięcia *masy zapłonu*. Masa ta jest na ogół **różna** od masy Chandrasekhara. Dla białych karłów He jest niska ($M=0.7M_{\odot}$), a dla białego karła C/O:

$$M_{CO} = 1.38M_{\odot} < M_{Ch} = 1.45M_{\odot}$$

\diamond	$M_{\text{ZAMS}} [M_{\odot}]$	$M_{\text{WD}} [M_{\odot}]$	$M_{\text{expl}} [M_{\odot}]$	M_{Ch}
He	0.08 ... 2.25	0.45	0.7	1.440
C+O	2.25 ... 10	0.6 ... 1.2	1.39	1.412
O+Ne+Mg	8 ... 11.5	1.15... 1.3	1.39	1.405

- dla białych karłów He oraz C/O zapłon zachodzi dla masy bezpiecznie niższej od M_{Ch}
- w przypadku ONeMg sprawa jest dyskusyjna (kolaps czy wybuch?)

Przez ~ 1000 lat przed wybuchem w centrum materia „tli się” (ang: smouldering, simmering), chłodzona neutrinowym rozpadem plazmonu i konwekcją. W momencie gdy tempo produkcji energii staje się zbyt duże pojawia się powierzchnia nieciągłości: **płomień termojądrowy** (ang. flame).

Aby dopasować produkcję pierwiastków do obserwacji wykonano serię obliczeń z różnymi prędkościami spalania v_s . Najlepszy okazał się model W7 Nomoto dla którego:

$$v_s \simeq 0.3c_s$$

gdzie c_s to prędkość dźwięku. Fizyka/chemia zna dwa mechanizmy spalania:

- deflagracja, $v_s \ll c_s$
- detonacja, $v_s \simeq c_s$

W obu przypadkach mamy do czynienia z przemieszczającą się powierzchnią nieciągłości. Różnica polega na produkcji dodatkowej energii za frontem.

Deflagracja

- płomień rozchodzący się poprzez przewodnictwo cieplne
- prędkość na poziomie $v_s \simeq 0.01c_s$
- gaz rozpręża się w trakcie palenia
- spalanie częściowe
- produkowane wszystkie pierwiastki pomiędzy C/O a Fe

Detonacja

- zapłon na froncie fali uderzeniowej
- naddźwiękowa prędkość czoła fali
 $v_s \geq c_s$
- materia „nie wie”, że zbliża się fala detonacyjna
- spalanie całkowite
- produkowane głównie Fe

Deflagracja

- płomień rozchodzący się poprzez przewodnictwo cieplne
- prędkość na poziomie $v_s \simeq 0.01c_s$
- gaz rozpręża się w trakcie palenia
- spalanie częściowe
- produkowane wszystkie pierwiastki pomiędzy C/O a Fe

Detonacja

- zapłon na froncie fali uderzeniowej
- naddźwiękowa prędkość czoła fali
 $v_s \geq c_s$
- materia „nie wie”, że zbliża się fala detonacyjna
- spalanie całkowite
- produkowane głównie Fe

Deflagracja

- płomień rozchodzący się poprzez przewodnictwo cieplne
- prędkość na poziomie $v_s \simeq 0.01c_s$
- gaz rozpręża się w trakcie palenia
- spalanie częściowe
- produkowane wszystkie pierwiastki pomiędzy C/O a Fe

Detonacja

- zapłon na froncie fali uderzeniowej
- naddźwiękowa prędkość czoła fali
 $v_s \geq c_s$
- materia „nie wie”, że zbliża się fala detonacyjna
- spalanie całkowite
- produkowane głównie Fe

Deflagracja

- płomień rozchodzący się poprzez przewodnictwo cieplne
- prędkość na poziomie $v_s \simeq 0.01c_s$
- gaz rozpręża się w trakcie palenia
- spalanie częściowe
- produkowane wszystkie pierwiastki pomiędzy C/O a Fe

Detonacja

- zapłon na froncie fali uderzeniowej
- naddźwiękowa prędkość czoła fali
 $v_s \geq c_s$
- materia „nie wie”, że zbliża się fala detonacyjna
- spalanie całkowite
- produkowane głównie Fe

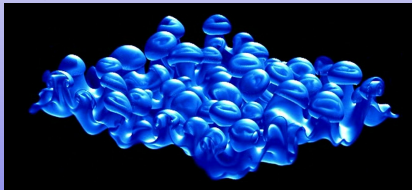
Deflagracja

- płomień rozchodzący się poprzez przewodnictwo cieplne
- prędkość na poziomie $v_s \simeq 0.01c_s$
- gaz rozpręża się w trakcie palenia
- spalanie częściowe
- produkowane wszystkie pierwiastki pomiędzy C/O a Fe

Detonacja

- zapłon na froncie fali uderzeniowej
- naddźwiękowa prędkość czoła fali
 $v_s \geq c_s$
- materia „nie wie”, że zbliża się fala detonacyjna
- spalanie całkowite
- produkowane głównie Fe

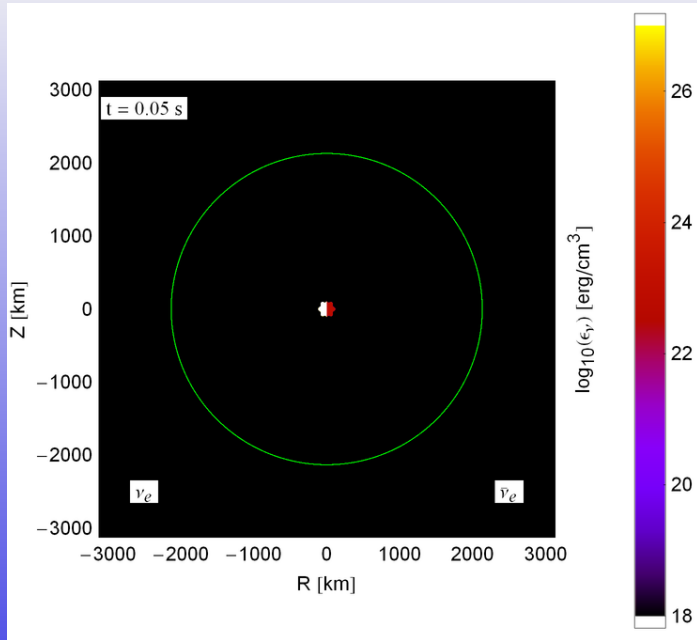
- zwiększenie efektywności spalania przez pofałdowanie płomienia [YouTube]



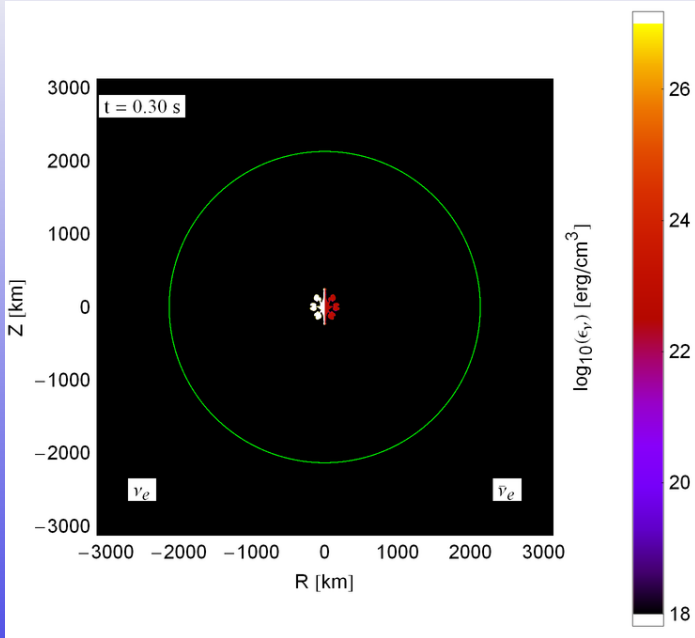
[YouTube]

- zwiększenie liczby punktów zapłonu
- przejście spalania w detonację

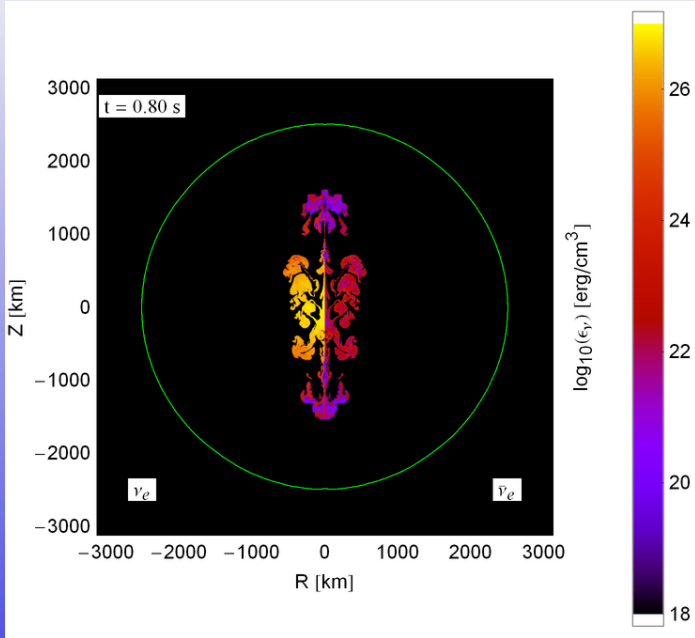
Przykład modelu deflagracji



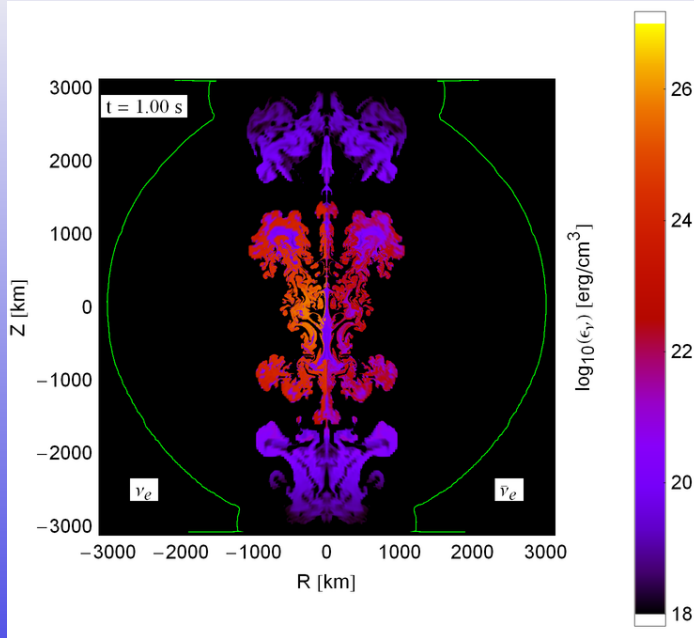
Przykład modelu deflacji



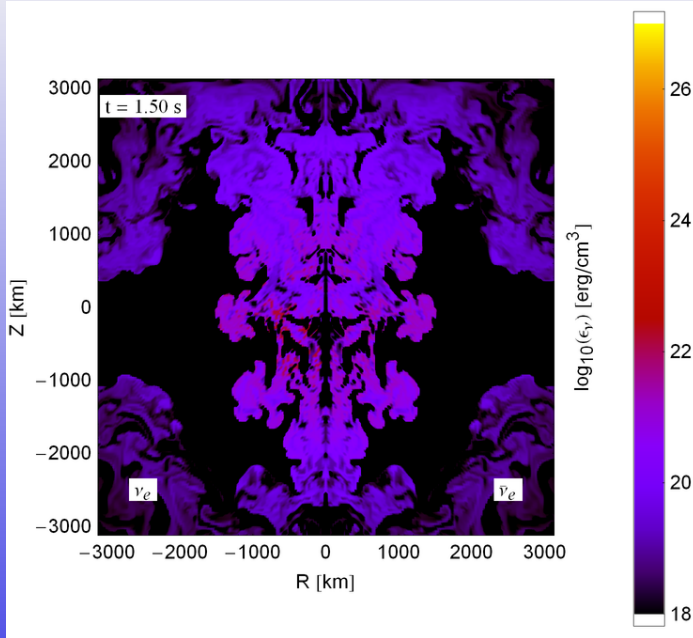
Przykład modelu deflagracji



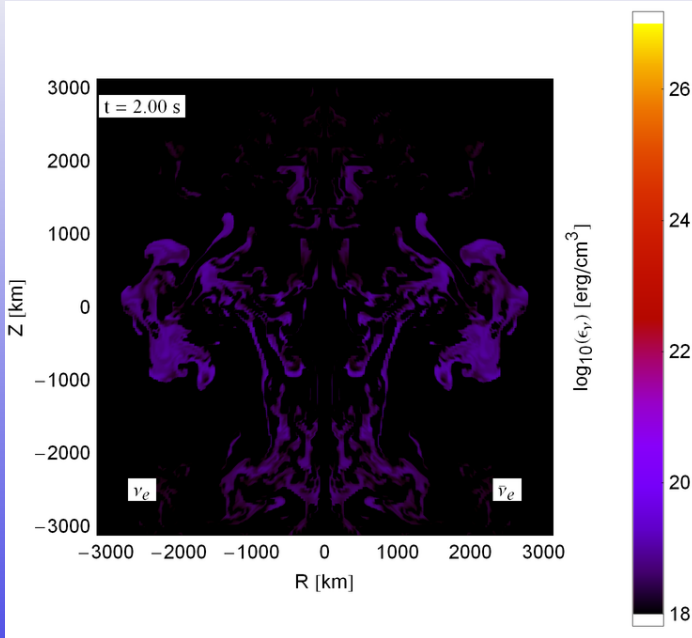
Przykład modelu deflacji



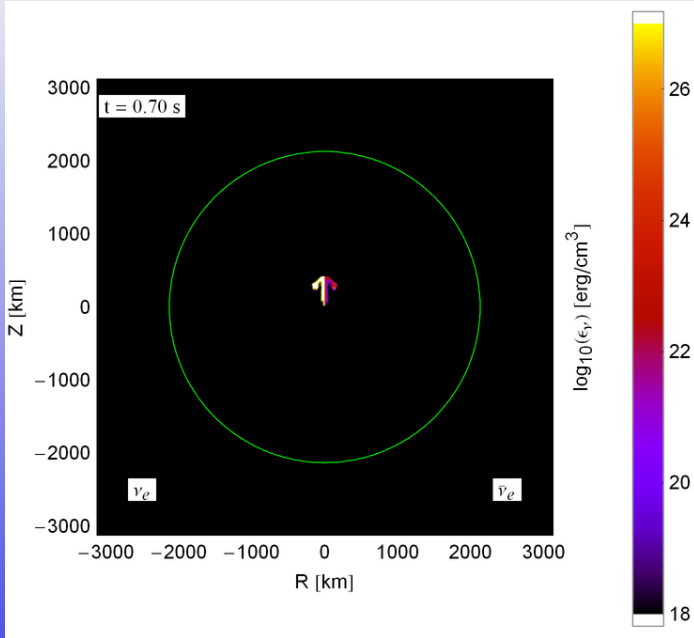
Przykład modelu deflagracji



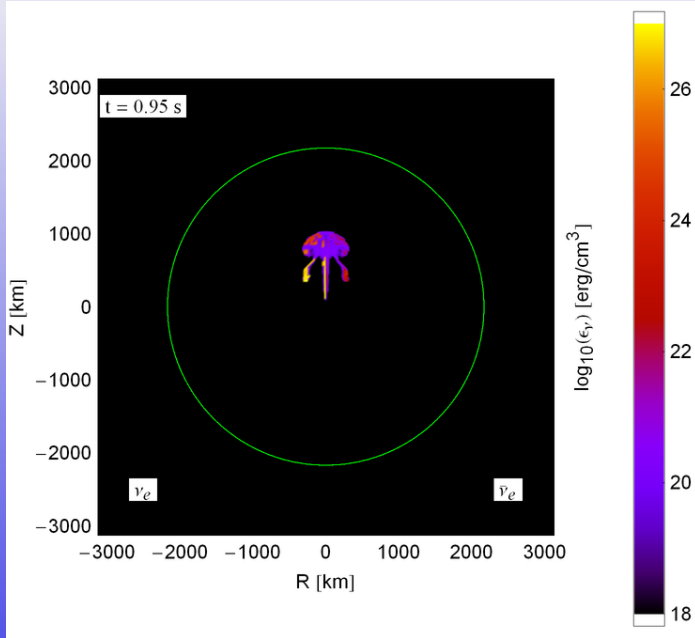
Przykład modelu deflacji



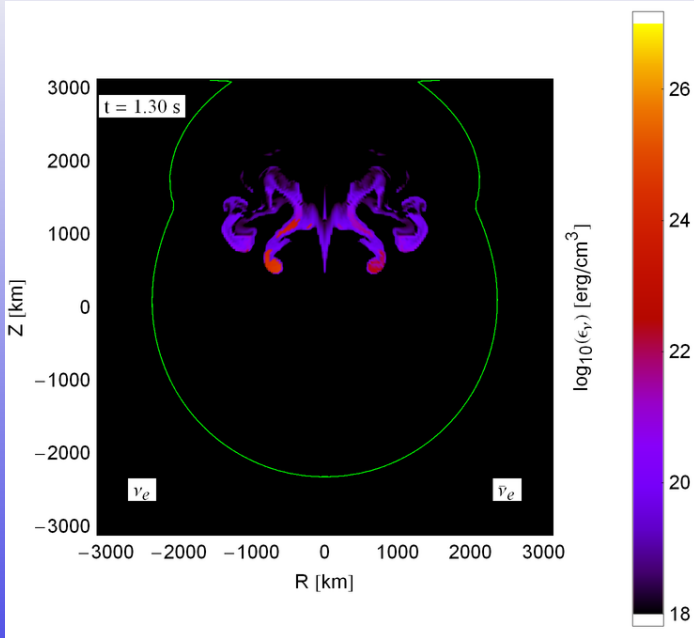
Przykład modelu z opóźnioną detonacją



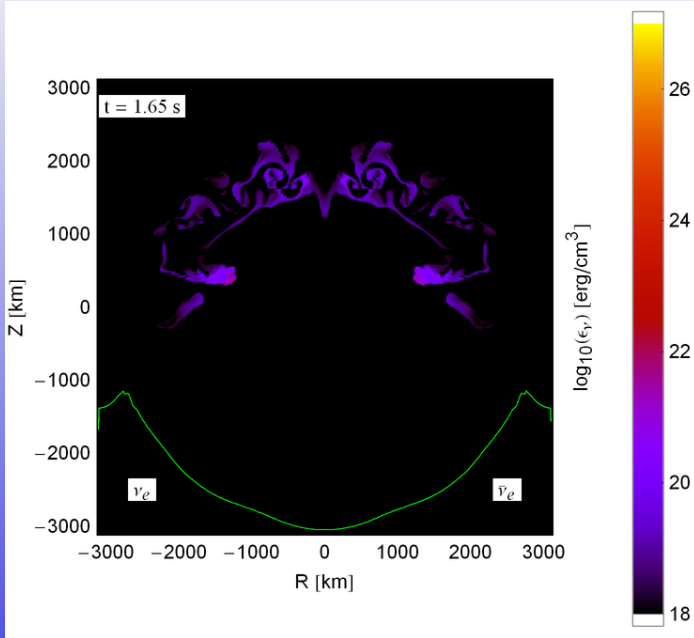
Przykład modelu z opóźnioną detonacją



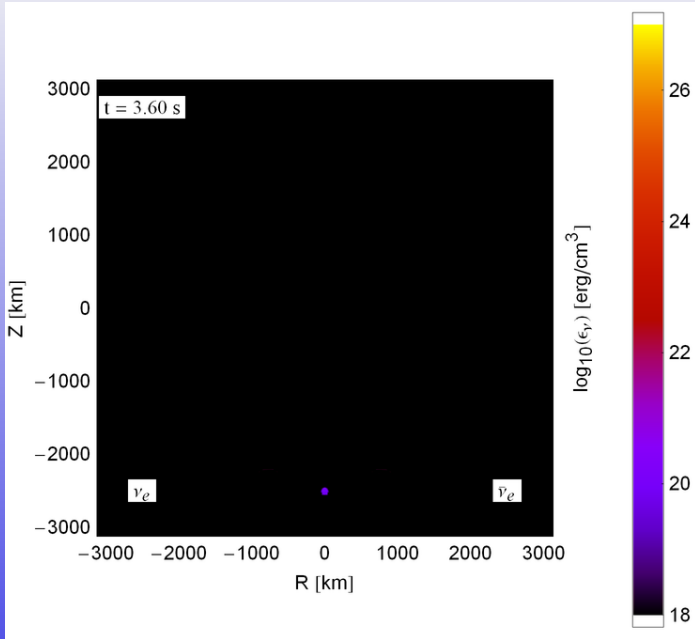
Przykład modelu z opóźnioną detonacją



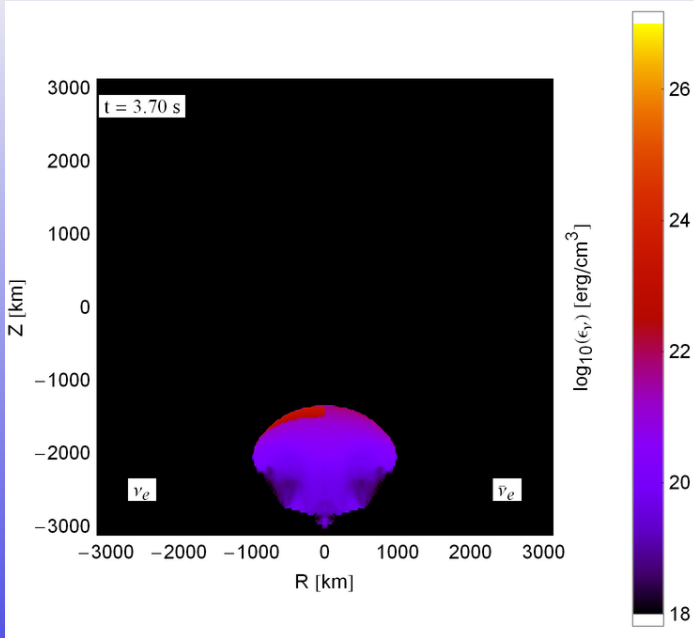
Przykład modelu z opóźnioną detonacją



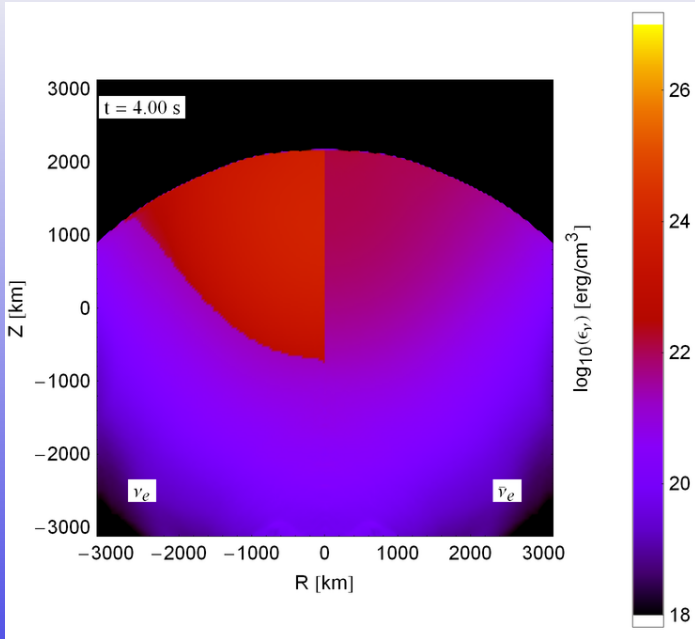
Przykład modelu z opóźnioną detonacją



Przykład modelu z opóźnioną detonacją



Przykład modelu z opóźnioną detonacją



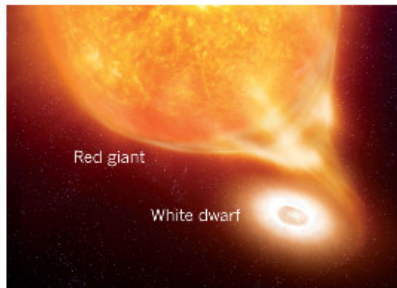
Animacje w czasie rzeczywistym:

- [n7]
- [y12]

Bardziej efektowna wizualizacja: [YouTube]

Obserwacje pobliskich supernowych wykluczyły zarówno istnienie drugiego składnika typu czerwonego olbrzyma, jak i mgławicy po wcześniejszych eksplozjach nowych. Wyniki są konsyistentne z eksplozją białego karła w ośrodku międzygwiazdowym. Brak śladów H, a nawet He w widmie.

Supernowa Ia

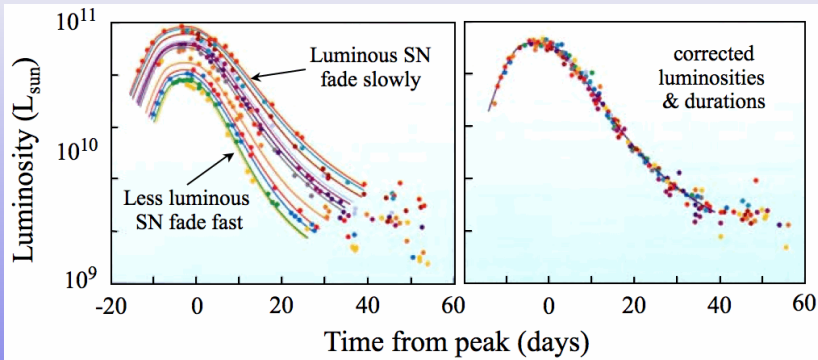


DAWNIEJ



DZISIAJ

- 1 w „zerowym” przybliżeniu każda supernowa termojądrowa jest identyczna: masa zapłonu $M \simeq M_{Ch}$ wynika bezpośrednio z praw fizyki (gaz fermionowy, fizyka jądrowa, OTW), skład jest stały: 50% C + 50 % O
- 2 obecnie jest jasne, że rozrzut występuje
- 3 około 85% supernowych to tzw. Branch-normals, reszta to przypadki anomalne
- 4 normalne przypadki wykazują bardzo silną korelację pomiędzy czasem świecenia a jasnością absolutną



- UWAGA 1: obserwowany z dużej odległości czas wybuchu, podlega *kosmologicznej dylatacji czasu*; dla przesunięcia ku czerwieni z wybuch oglądamy w tempie zwolnionym $1 + z$ razy
- UWAGA 2: korelacja jest czysto obserwacyjna; jej fizyczne przyczyny są nieznane a proponowane wyjaśnienia mają charakter spekulacyjny

Dla gwiazd o masie kilkudziesięciu M_{\odot} i większej, pojawiają się przynajmniej dwa istotne efekty fizyczne:

- 1 ciśnienie promieniowania zaczyna dominować, co powoduje, że musimy uwzględnić OTW
- 2 temperatury zbliżają się do $kT \sim m_e c^2$, co powoduje produkcję stale utrzymującej się pewnej liczby par $e^+ e^-$

Rozkłady Fermiego-Diraca dla elektronów i pozytonów to:

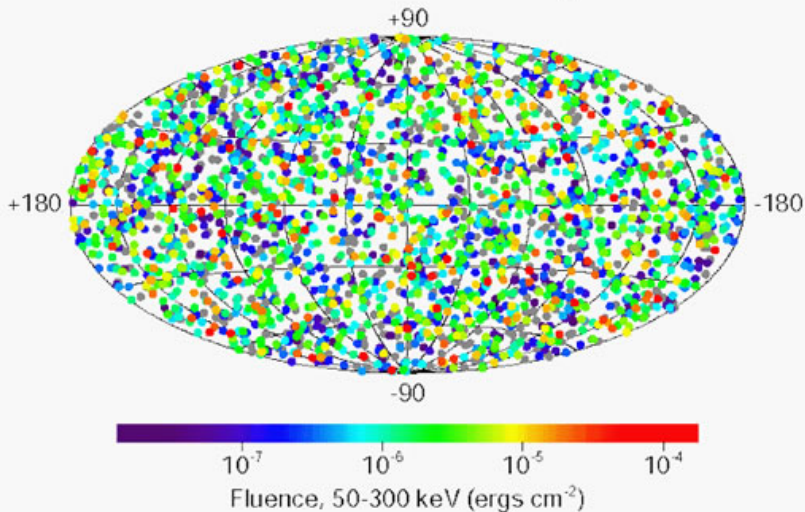
$$e^+ + e^- \leftrightarrow 2\gamma \rightarrow \mu_{e^+} + \mu_{e^-} = 0 \rightarrow f_{e^{\pm}} = \frac{1}{1 + e^{\frac{E \mp \mu}{kT}}}, \quad n_e = n_{e^-} - n_{e^+}$$

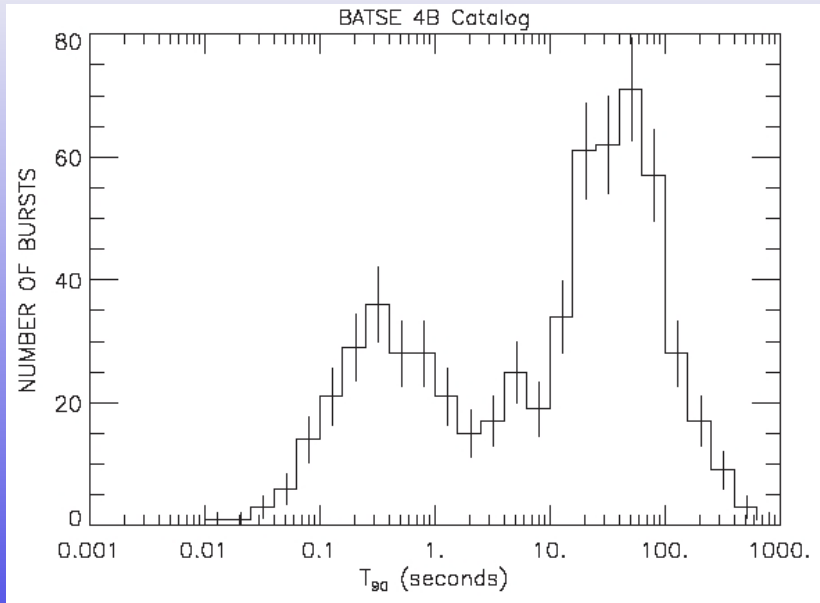
W efekcie równanie stanu zmienia się tak, że $n > 3$, co skutkuje kolapsem grawitacyjnym, prawdopodobnie zatrzymanym przez wybuchowe spalanie w jądrze C/O o masie kilkudziesięciu M_{\odot} . Byłby to brakujący czwarty typ supernowej: termojądrowa wewnątrz masywnej otoczki H/He. Potencjalny (ale wątpliwy) przypadek to SN2007bi

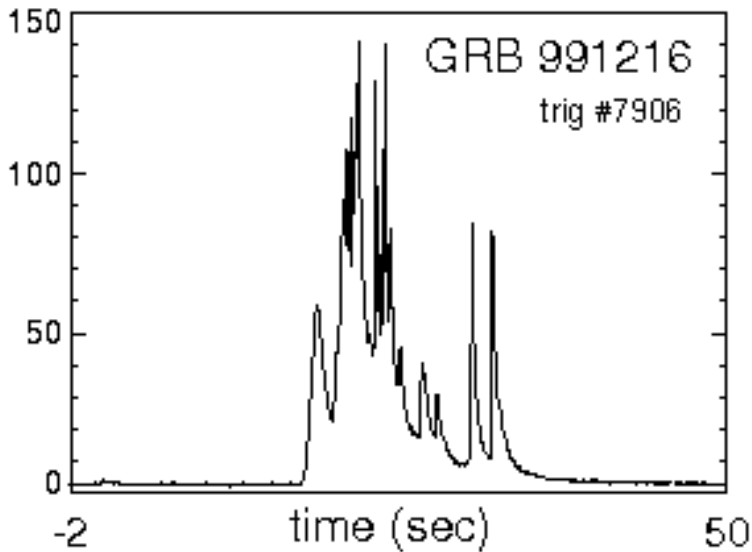
Impulsy promieniowania gamma i rentgenowskiego, pochodzenia kosmicznego, cechowane:

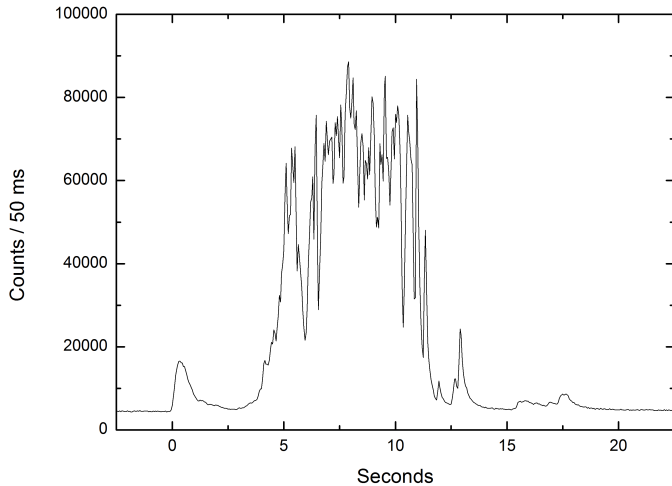
- 1 losowym rozkładem na niebie
- 2 częstością występowania 1/dzień
- 3 dwie klasy: krótkie ($t < 2s$) i długie $t > 2s$ (do kilku minut)
- 4 pojawiają się na odległościach „kosmologicznych”
- 5 przy założeniu izotropowej emisji sumaryczna energia eksplozji to nawet 1000 foe (100x hipernowa, $\sim 1M_{\odot}c^2$!)

2704 BATSE Gamma-Ray Bursts









- proponowany mechanizm to *merger* (złanie się) 2 gwiazd neutronowych (NS+NS) lub układu NS+BH
- układ podwójny zmniejsza rozmiary orbitalne na skutek emisji fal grawitacyjnych (*inspiral*)
- efektem pośrednim jest czarna dziura otoczona dyskiem akrecyjnym
- wzdłuż osi obrotu wytwarzany jest tzw. dżet (*jet*), czyli silnie zogniskowany strumień promieniowania i materii

- krzywa „blasku” ma postać serii krótkich impulsów — ich liczba i cechy wydają się być zupełnie losowe (nie ma 2 identycznych)
- obecnie jest jasne, że występują w galaktykach, w rejonach formowania się gwiazd
- w wielu przypadkach wykryto opóźnioną poświatę optyczną, często wyglądającą jak supernowa
- obecnie twierdzi się, że strumień fotonów γ jest emitowany w stożku o kącie rozwarcia rzędu $4\pi/100$, co redukuje wymaganą energię do poziomu 10 foe, czyli hipernowej
- materia emitującą fotony porusza się z prędkościami bliskimi c , a czynnik Lorentza $1/\sqrt{1 - v^2/c^2}$ jest rzędu kilkuset
- pregenitorami są prawdopodobnie gwiazdy Wolfa-Rayeta, czyli pozbawione H a nawet He jądra masywnych gwiazd — są to więc typy Ib/c ale obserwowane wzdłuż osi rotacji

Wybuch supernowej prowadzący do powstania gwiazdy neutronowej nie jest jedynym możliwym skutkiem kolapsu.

- natychmiast lub z opóźnieniem (poprzez deleptonizację lub akrecję) może powstać czarna dziura
- obecnie jasne jest, że długie rozbłyski gamma (ang: **Gamma Ray Burst**) to także supernowe, obserwowane wzdłuż osi obrotu
- trudno obecnie wykluczyć możliwość, że mechanizm supernowej faktycznie czasem zawodzi, i niektóre masywne gwiazdy po prostu gasną pochłonięte przez czarną dziurę, która powstała w ich w centrum

Hipernowe

Wszystkie anomalnie jasne przypadki supernowych i ich modele zbiorczo określa się mianem hipernowych. Zwykle wiąże się je z:

- powstaniem czarnej dziury w centrum
- bardzo szybką rotacją
- polami magnetycznymi
- asymetrią eksplozji obserwowanej pod uprzywilejowanym kątem
- produkcją jet-ów

Teoria rotujących ciał: rotacja sztywna

Zagadnienie struktury i ewolucji stacjonarnych (niezależnych od czasu, ale z niezerową prędkością), w szczególności „rotujących” samograwitujących ciał będziemy rozpatrywać zaczynając od dwóch skrajnych przypadków:

- 1 obiekty o stałej gęstości (klasyczna teoria figur równowagi)
- 2 obiekty nieważkie, o średniej gęstości dążącej do zera, poruszające się w polu masy punktowej (model Roche’a)

Można pokazać, że w przypadku rotacji ze stałą prędkością kątową, ciała o rozkładzie gęstości danym funkcjami Lane-Emdena (politropy) zachowują się jakościowo podobnie do powyższych modeli gdy:

- $n < 0.8$ ($\gamma = 1 + \frac{1}{n} > 2.25$) – jak ciało o stałej gęstości
- jak model Roche’a w przeciwnym przypadku

Wartość $n \simeq 1$ i mniej odpowiada materii z której zbudowane są np: planety lub gwiazdy neutronowe.

Kształt powierzchni obracającego się ciała o stałej gęstości jest w zasadzie nieznan. Okazuję się, że zakładając rotację „sztywną” (jednorodną)

$$\vec{v} = \vec{\Omega} \times \vec{r}, \quad \vec{\Omega} = \text{const}$$

z przyspieszeniem odśrodkowym \vec{a} o potencjale odśrodkowym (centryfugalnym) Φ_c

$$\vec{a} = \Omega^2 r \vec{e}_r, \quad \Phi_c = \frac{1}{2} \Omega^2 (x^2 + y^2)$$

jednym z rozwiązań jest elipsoida, dla której znany jest wzór na potencjał grawitacyjny (wewnątrz)

$$\Phi_g = \pi G \rho \sum_{i=1}^3 (\mathbf{a}_i^2 - r_i^2) A_i$$

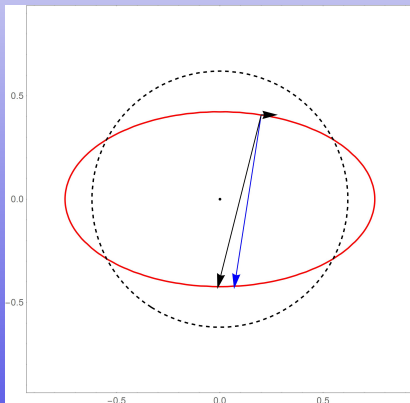
gdzie $\mathbf{a} = \{a, b, c\}$ to półosie elipsoidy, $r = \{x, y, z\}$ oraz

$$A_i = abc \int_0^\infty \frac{du}{(\mathbf{a}_i^2 + u) \sqrt{(a^2 + u)(b^2 + u)(c^2 + u)}}.$$

Elipsoida Maclaurina: warunek równowagi

Aby ciecz pozostawała w stanie stacjonarnym, suma sił grawitacyjnej i odśrodkowej, musi być wszędzie prostopadła do powierzchni, jak w „wiadrze Newtona”

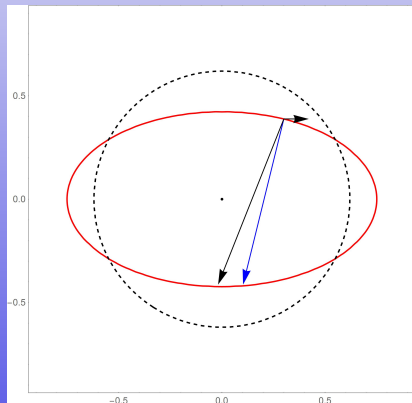
$$\vec{g} + r\Omega^2 \vec{e}_r \parallel \nabla P$$



Elipsoida Maclaurina: warunek równowagi

Aby ciecz pozostawała w stanie stacjonarnym, suma sił grawitacyjnej i odśrodkowej, musi być wszędzie prostopadła do powierzchni, jak w „wiadrze Newtona”

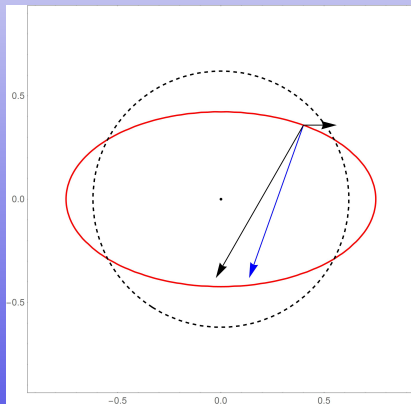
$$\vec{g} + r\Omega^2 \vec{e}_r \parallel \nabla P$$



Elipsoida Maclaurina: warunek równowagi

Aby ciecz pozostawała w stanie stacjonarnym, suma sił grawitacyjnej i odśrodkowej, musi być wszędzie prostopadła do powierzchni, jak w „wiadrze Newtona”

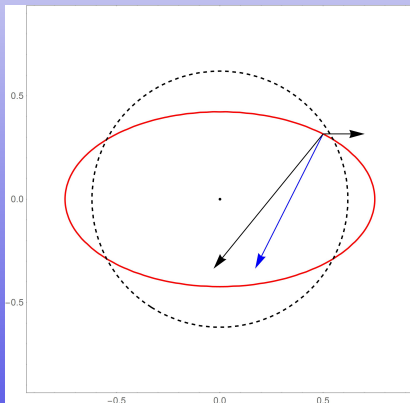
$$\vec{g} + r\Omega^2 \vec{e}_r \parallel \nabla P$$



Elipsoida Maclaurina: warunek równowagi

Aby ciecz pozostawała w stanie stacjonarnym, suma sił grawitacyjnej i odśrodkowej, musi być wszędzie prostopadła do powierzchni, jak w „wiadrze Newtona”

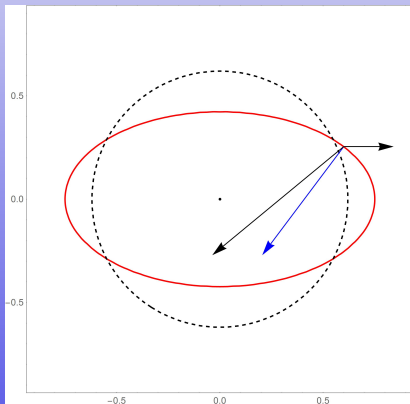
$$\vec{g} + r\Omega^2 \vec{e}_r \parallel \nabla P$$



Elipsoidal Maclaurina: warunek równowagi

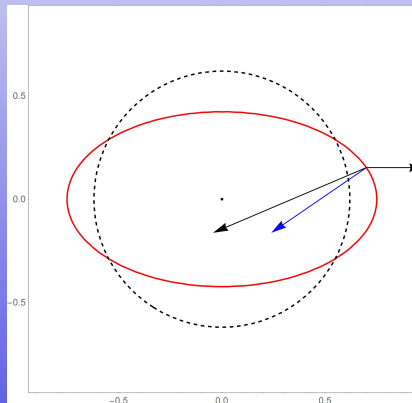
Aby ciecz pozostawała w stanie stacjonarnym, suma sił grawitacyjnej i odśrodkowej, musi być wszędzie prostopadła do powierzchni, jak w „wiadrze Newtona”

$$\vec{g} + r\Omega^2 \vec{e}_r \parallel \nabla P$$



Aby ciecz pozostawała w stanie stacjonarnym, suma sił grawitacyjnej i odśrodkowej, musi być wszędzie prostopadła do powierzchni, jak w „wiadrze Newtona”

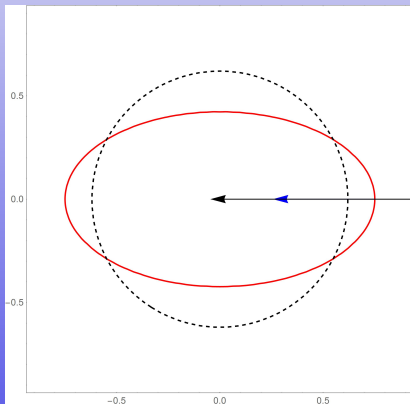
$$\vec{g} + r\Omega^2 \vec{e}_r \parallel \nabla P$$



Elipsoida Maclaurina: warunek równowagi

Aby ciecz pozostawała w stanie stacjonarnym, suma sił grawitacyjnej i odśrodkowej, musi być wszędzie prostopadła do powierzchni, jak w „wiadrze Newtona”

$$\vec{g} + r\Omega^2 \vec{e}_r \parallel \nabla P$$



Okazuje się, że równanie równowagi można przepisać w postaci równania elipsoidy:

$$\frac{x^2}{a^2} + \frac{y^2}{b^2} + \frac{z^2}{c^2} = 1$$

gdzie:

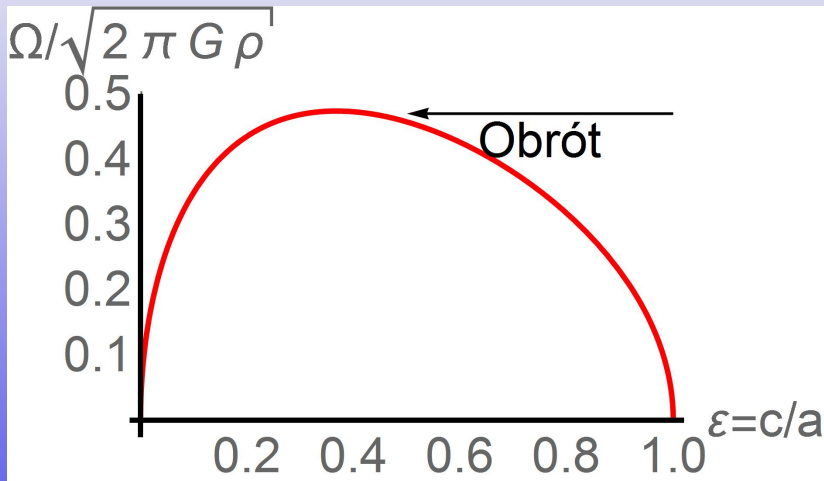
$$\frac{a}{c} = \sqrt{\frac{A_z}{A_x - \frac{\Omega^2}{2\pi G\rho}}}, \quad \frac{b}{c} = \sqrt{\frac{A_z}{A_y - \frac{\Omega^2}{2\pi G\rho}}}, \quad \frac{4}{3}\pi abc = M$$

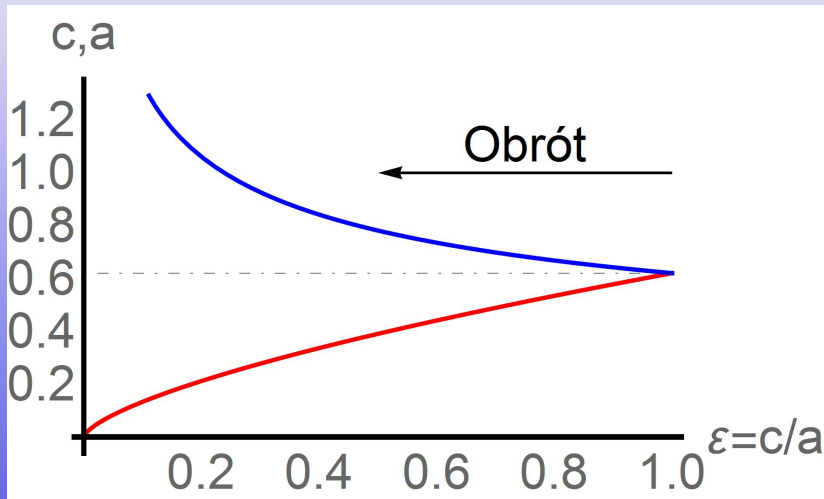
Rozwiązanie powyższego układu dla $a = b$ w zależności od bezwymiarowego parametru

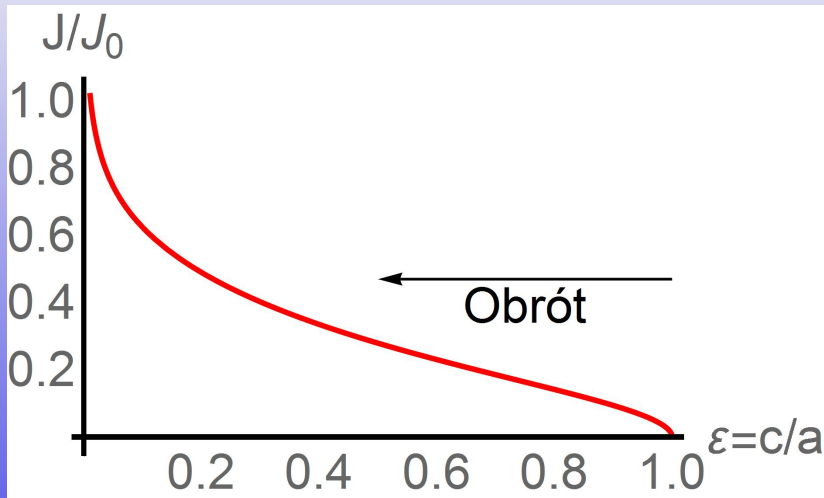
$$\chi = \frac{\Omega^2}{2\pi G\rho}$$

nazywamy *elipsoidą Maclaurina*. Oznaczając spłaszczenie przez $\varepsilon = c/a$ otrzymujemy:

$$\chi = \frac{\varepsilon (2\varepsilon^2 + 1) \arccos \varepsilon - 3\varepsilon^2 \sqrt{1 - \varepsilon^2}}{(1 - \varepsilon^2)^{3/2}}$$







Elipsoidy Maclaurina tworzą ciąg obracających się elipsoid **obrotowych** o stale rosnącym **momencie pędu** J .

- dla $J = 0$ figurą równowagi jest kula
- dla $J < J_c$ prędkość kątowna elipsoidy rośnie, i ulega ona spłaszczeniu
- dla $J = J_c$ elipsoida Maclaurina osiąga maksymalną możliwą prędkość kątowną (dla Ziemi, $\rho \simeq 5 \text{ g/cc}$, $T_{obr} \simeq 15 \text{ minut}$)

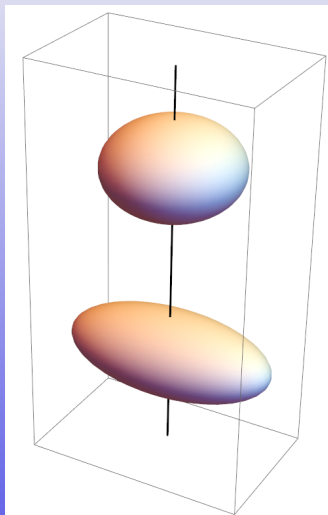
$$\frac{\Omega^2}{2\pi G\rho} \simeq 0.22, \quad \varepsilon \simeq 0.36767$$

- dalsze zwiększanie momentu pędu powoduje jeszcze większe spłaszczenie, ale od tego miejsca prędkość kątowna Ω **maleje**
- dla $J \rightarrow \infty$ elipsoida Maclaurina degeneruje się do nieskończenie cienkiego „placka” który praktycznie pozostaje w spoczynku

Zanim jeszcze elipsoida Maclaurina osiągnie maksymalną prędkość kątową dochodzi do *bifurkacji* (spontanicznego złamania symetrii) w kierunku trójosiowej *elipsoidy Jacobiego*.

Powyżej punktu bifurkacji istnieją 2 rozwiązania o tym samym momencie pędu.

Ciekawa wizualizacja bifurkacji: Jos Leys/Etienne Ghys, The shape of Planet Earth



Używa się kilku miar stopnia rotacji układów samograwitujących:

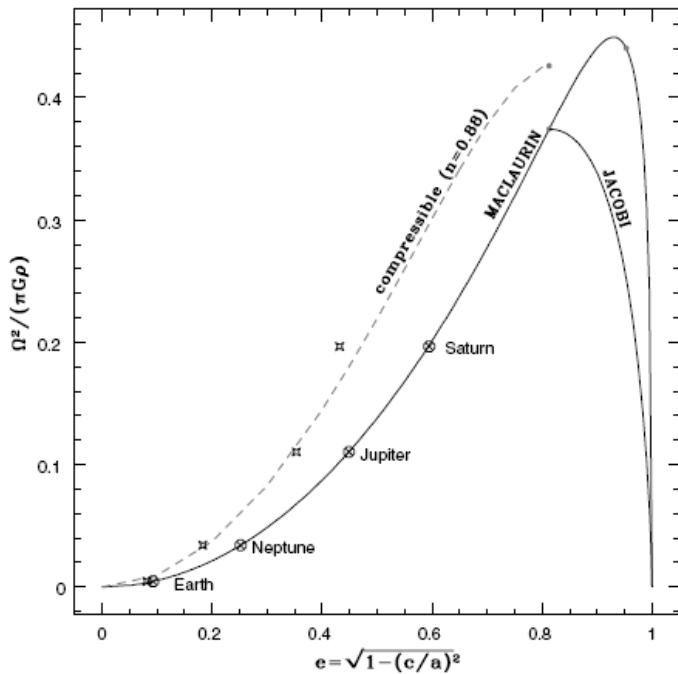
- bezwymiarowa prędkość kątowna

$$\chi = \frac{\Omega^2}{2\pi G\rho}$$

- moment pędu J
- stosunek rotacyjnej energii kinetycznej E_k do grawitacyjnej energii wiązania E_g

$$\beta = \frac{E_k}{|E_g|}$$

Z twierdzenia wirialnego $0 \leq \beta < 0.5$. Punkt bifurkacji do elipsoidy Jacobiego pojawia się dla $\chi = 0.187, \beta = 0.1375$, niestabilność dynamiczna elipsoidy Jacobiego $\beta \simeq 0.16$, Maclaurina $\beta \simeq 0.27$.



Warto przy okazji wspomnieć o równoległe rozwijanej analogicznej teorii rotującej cieczy z napięciem powierzchniowym.

- motywacją model kroplowy jądra atomowego
- odpychanie elektrostatyczne zamiast przyciągania
- napięcie powierzchniowe daje energię wiązania

Przyrównując energię napięcia powierzchniowego do grawitacyjnej dla jednorodnej kuli mamy

$$4\pi R^2 \sigma = \frac{3}{5} \frac{GM^2}{R} \quad \rightarrow \quad M = \frac{5\sigma}{G\rho}$$

Dla wody napięcie powierzchniowe $\sigma \simeq 0.072 \text{ N/m}$ co daje przewagę sił samograwitacji już dla $M > 1000$ ton ($R > 10$ metrów). Dla materii jądrowej $\sigma \sim 1.25 \text{ MeV/fm}^2$, czyli $M > 10^{10}$ kg (masa małej asteroidy).

Elipsoida Dedekinda (Riemanna, Dirichleta)

Pole prędkości \mathbf{v} (v_x, v_y, v_z): $v_x = -q \zeta y$, $v_y = (1 - q) \zeta x$, $v_z = 0$,

$$\nabla \times \mathbf{v} = \zeta \mathbf{e}_z$$

Z równania elipsoidy wynika wektor normalny

$$G(x, y, z) = \frac{x^2}{a^2} + \frac{y^2}{b^2} + \frac{z^2}{c^2} - 1 = 0 \rightarrow \mathbf{n} = \nabla G = (2x/a^2, 2y/b^2, 2z/c^2)$$

Warunek, że ciecz „nie wypływa” z elipsoidy, $\mathbf{n} \cdot \mathbf{v} = 0$, daje

$$q = \frac{a^2}{a^2 + b^2}, \quad 1 - q = \frac{b^2}{a^2 + b^2}$$

Równania ruchu „elementu cieczy” – linii prądu:

$$v_x = \frac{dx}{dt} = -q \zeta y$$

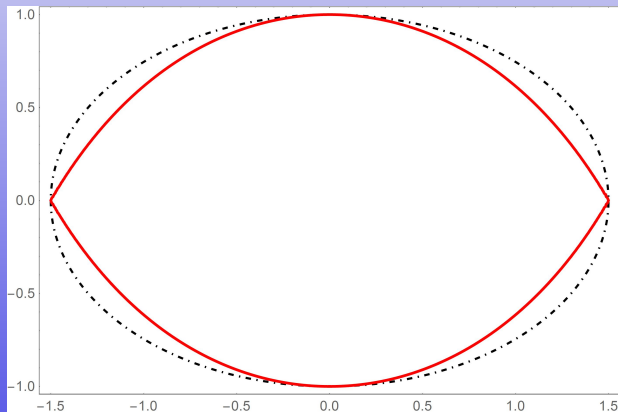
$$v_y = \frac{dy}{dt} = (1 - q) \zeta x$$

Podstawienie $x = A e^{i\Omega t}$, $y = B e^{i\Omega t}$ daje związek pomiędzy wirowością ζ elipsoidy Dedekinda a prędkością kątową Ω elipsoidy Jacobiego

$$\begin{bmatrix} i\Omega & -q \zeta \\ (1 - q) \zeta & i\Omega \end{bmatrix} \begin{bmatrix} A \\ B \end{bmatrix} = 0 \quad \zeta = \frac{a^2 + b^2}{ab} \Omega$$

Zakładając, że cała masa rotującego obiektu jest skupiona w centrum, otrzymujemy równanie powierzchni:

$$\frac{GM}{\sqrt{r^2 + z^2}} + \frac{1}{2}\Omega^2 r^2 = \text{const} = \frac{GM}{R_p}$$



SCIEŻKA MACLAURINA

- ciało o stałej gęstości
- kurczenie się
- rozpad
- fragmenty wchodzą na:
 - - ścieżkę Roche'a
 - - ścieżkę Maclaurina

SCIEŻKA ROCHE'A

- ciało o prawie punktowym jądrze
- kurczenie się
- wyptyw materii z równika
- powstanie dysku
- jądro lub obiekty dysku wchodzą na:
 - - ścieżkę Roche'a
 - - ścieżkę Maclaurina

Rotacja różniczkowa

$$\frac{\partial \vec{v}}{\partial t} + (\vec{v} \nabla) \vec{v} = \frac{1}{\rho} \nabla P + \vec{g} \quad (1a)$$

$$\frac{\partial \rho}{\partial t} + \nabla(\rho \vec{v}) = 0 \quad (1b)$$

- interesują nas rozwiązania, dla których prędkość \vec{v} jest funkcją wyłącznie współrzędnych (nie zależy od czasu)

Pochodna substancjonalna (operator $\vec{v} \nabla$)

$$\begin{aligned} \frac{d\vec{v}(t, x(t), y(t), z(t))}{dt} &= \frac{\partial \vec{v}}{\partial t} + \frac{\partial \vec{v}}{\partial x} \frac{dx}{dt} + \frac{\partial \vec{v}}{\partial y} \frac{dy}{dt} + \frac{\partial \vec{v}}{\partial z} \frac{dz}{dt} \\ &= \frac{\partial \vec{v}}{\partial t} + v_x \frac{\partial \vec{v}}{\partial x} + v_y \frac{\partial \vec{v}}{\partial y} + v_z \frac{\partial \vec{v}}{\partial z} = \frac{\partial \vec{v}}{\partial t} + \left(v_x \frac{\partial}{\partial x} + v_y \frac{\partial}{\partial y} + v_z \frac{\partial}{\partial z} \right) \vec{v} \end{aligned}$$

Korzystając z tożsamości

$$(\vec{v}\nabla)\vec{v} = \frac{1}{2}\nabla v^2 - \vec{v} \times (\nabla \times \vec{v})$$

równanie Eulera w przypadku stacjonarnym można przepisać jako:

$$\nabla(h + \Phi_g + \frac{1}{2}v^2) = \vec{v} \times (\nabla \times \vec{v}).$$

Jeżeli wyraz po prawej jest równy zero lub jest gradientem pewnej funkcji, otrzymujemy **równanie Bernouliego**

$$h + \Phi_g + \frac{1}{2}v^2 = \text{const.}$$

Jednym z przypadków, kiedy można wprowadzić równanie Bernoulliego jest tzw. „czysta rotacja”:

$$\vec{v}(r, z, \phi) = \Omega(r, z)r \vec{e}_\phi.$$

W ogólności stacjonarne pole prędkości \vec{v} musi spełniać równanie

$$\mathbf{rot}(\vec{v} \times \mathbf{rot}\vec{v}) \equiv \nabla \times (\vec{v} \times (\nabla \times \vec{v})) = 0.$$

Podstawienie czystej rotacji do powyższego równania daje:

$$2r\Omega(r, z) \frac{\partial \Omega(r, z)}{\partial z} = 0.$$

Przykład pola prędkości, które **nie jest** rotacją, a spełnia powyższe równanie, znajdujemy w elipsoidach Dedekinda.

Grawitacja powierzchniowa (ang. effective gravity) \mathbf{G} to suma natężenia pola grawitacyjnego \vec{g} i przyspieszenia odśrodkowego

$$\vec{G} = \vec{g} + r\Omega(r, z)^2 \vec{e}_r. \quad (2)$$

Dla samograwitującego ciała w stanie stacjonarnym o czystej rotacji poniższe zdania są równoważne:

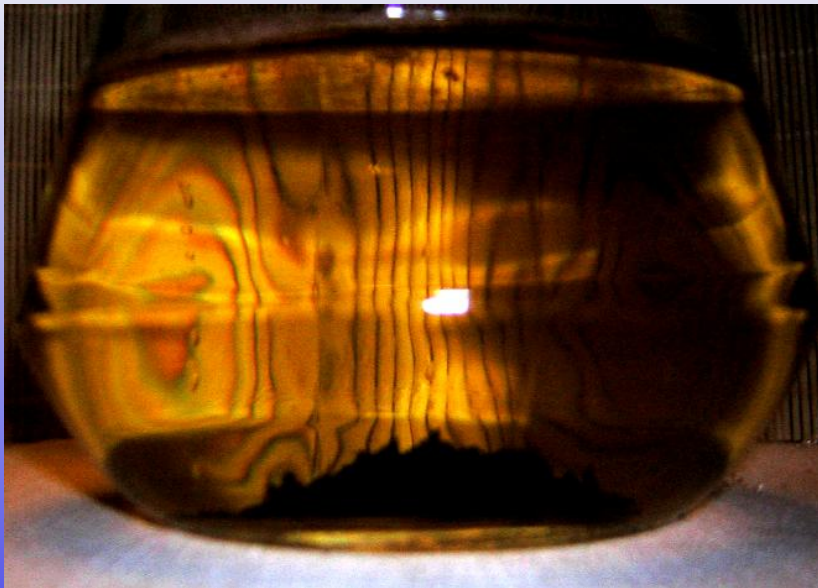
- (i) *Rotacja jest cylindryczna: $\Omega = \Omega(r)$.*
- (ii) *Powierzchnie $\rho = \text{const}$ and $p = \text{const}$ pokrywają się.*
- (iii) *Grawitacja powierzchniowa \vec{G} ma potencjał*
- (iv) *Wektor \vec{G} jest prostopadły do izobar $P = \text{const}$ (w szczególności do powierzchni $P = \rho = 0$).*

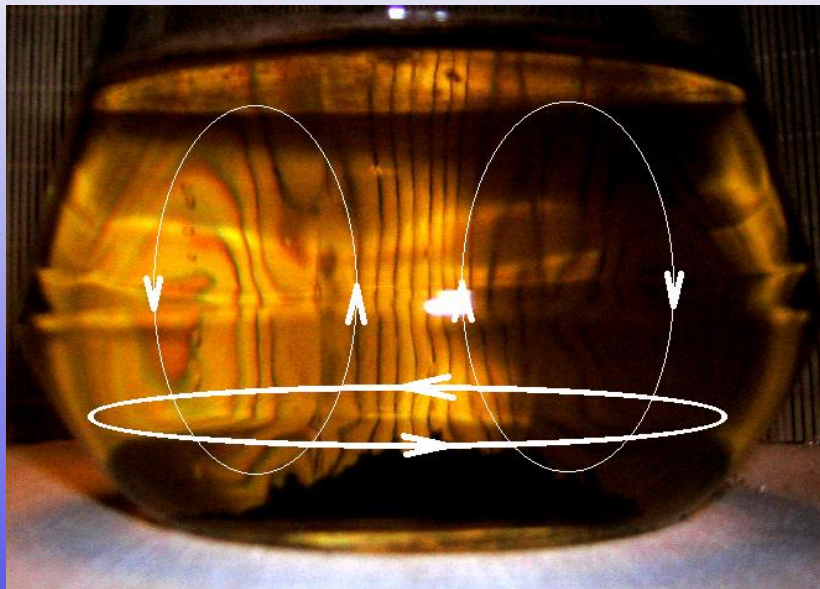
Obiekt spełniający powyższe założenia nazywamy *barotropą*. Spełnia ona równanie

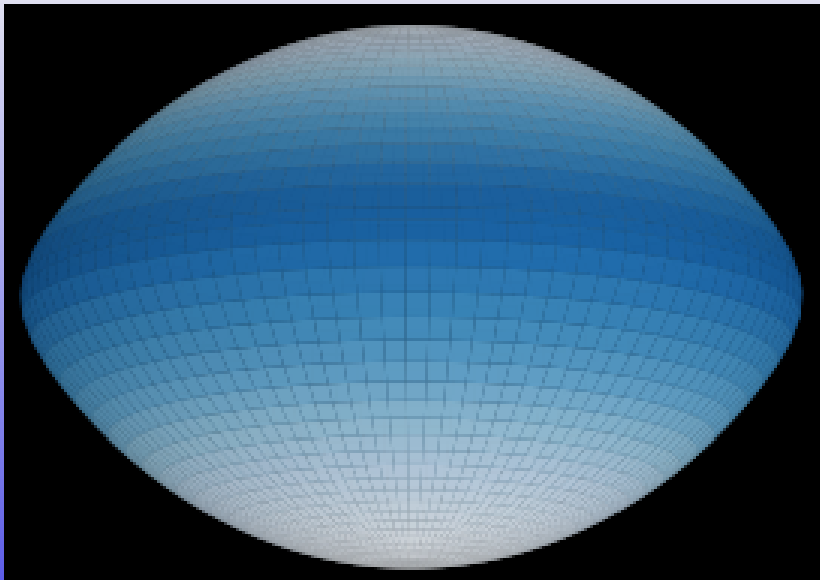
$$h(r, z) + \Phi_g + \Phi_c = C,$$

gdzie $\Phi_g = \int \Omega^2 r dr$ to *potencjał odśrodkowy*.









Dołączenie do opisu równowagi hydrostacyjnej barotropy, równania na transport energii daje układ równań który jest sprzeczny. Sytuację określamy jako *paradoks von Zeipela*.

Sytuacja ta jest powszechnie ignorowana w astrofizyce, i modelowanie rotujących „gwiazd” rozbija się na 2 kategorie:

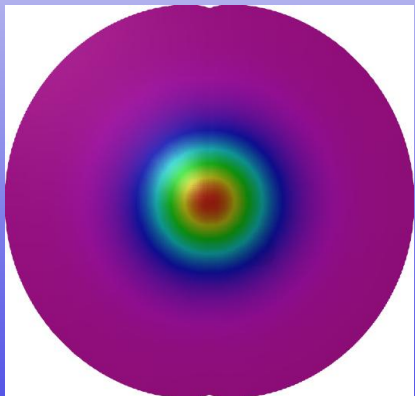
- rotujące barotropy z $\Omega = \Omega(r)$, które są w równowadze hydrostatycznej, ale nie termicznej
- obiekty z rotacją powłokową (ang: shellular rotation, 1D) z $\Omega = \Omega(m) \equiv \Omega(\sqrt{r^2 + z^2})$, które nie są w równowadze mechanicznej, ale są w równowadze termicznej

Pomimo bliskiego matematycznego pokrewieństwa z rotującymi różnicowo gwiazdami, teorię *dysków akrecyjnych* rozpatruje się osobno. Różnice to:

- 1 topologia typu torusa
- 2 punktowa masa centralna w środku (np: czarna dziura)
- 3 inne mechanizmy produkcji energii (np: tarcie)

W pierwszym przybliżeniu, równanie barotropy daje

$$h(r, z) = h_0(\sqrt{r^2 + z^2}) - \Phi_c + \Delta C$$

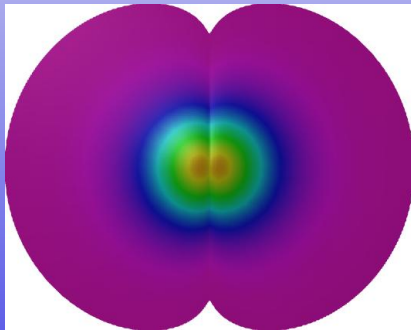


Pomimo bliskiego matematycznego pokrewieństwa z rotującymi różnicowo gwiazdami, teorię *dysków akrecyjnych* rozpatruje się osobno. Różnice to:

- 1 topologia typu torusa
- 2 punktowa masa centralna w środku (np: czarna dziura)
- 3 inne mechanizmy produkcji energii (np: tarcie)

W pierwszym przybliżeniu, równanie barotropy daje

$$h(r, z) = h_0(\sqrt{r^2 + z^2}) - \Phi_c + \Delta C$$

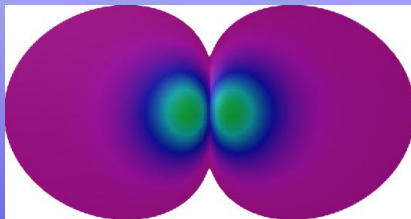


Pomimo bliskiego matematycznego pokrewieństwa z rotującymi różnicowo gwiazdami, teorię *dysków akrecyjnych* rozpatruje się osobno. Różnice to:

- 1 topologia typu torusa
- 2 punktowa masa centralna w środku (np: czarna dziura)
- 3 inne mechanizmy produkcji energii (np: tarcie)

W pierwszym przybliżeniu, równanie barotropy daje

$$h(r, z) = h_0(\sqrt{r^2 + z^2}) - \Phi_c + \Delta C$$

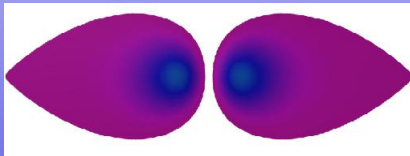


Pomimo bliskiego matematycznego pokrewieństwa z rotującymi różnicowo gwiazdami, teorię *dysków akrecyjnych* rozpatruje się osobno. Różnice to:

- 1 topologia typu torusa
- 2 punktowa masa centralna w środku (np: czarna dziura)
- 3 inne mechanizmy produkcji energii (np: tarcie)

W pierwszym przybliżeniu, równanie barotropy daje

$$h(r, z) = h_0(\sqrt{r^2 + z^2}) - \Phi_c + \Delta C$$



Struktura białych karłów i gwiazd neutronowych

Aby w sposób nie budzący wątpliwości wyznaczyć równanie stanu (EOS) wychodzimy od potencjału Ω (energii swobodnej Landaua):

$$\Omega(T, V, \mu) = -kT \frac{V}{h^3} g \int_0^{\infty} 4\pi p^2 \ln \left(1 + e^{\frac{\mu-E}{kT}} \right) dp$$

Ponieważ $\Omega = -PV$ powyższa całka daje ciśnienie w dowolnej temperaturze. Wynik wyraża się przez funkcje specjalne: uogólnione całki Fermiego-Diraca. Jeżeli $T \rightarrow 0$, to rozkład Fermiego-Diraca przyjmuje postać funkcji Heaviside'a (skoku jednostkowego), natomiast wielka funkcja rozdziału upraszcza się do:

$$\ln \left(1 + e^{\frac{\mu-E}{kT}} \right) \simeq \begin{cases} \frac{\mu-E}{kT} & \text{dla } E < \mu \\ 0 & \text{dla } E > \mu \end{cases}$$

Teraz widać, że kT się skraca, a ciśnienie P nie zależy od temperatury.

Cisnienie P dla $T \rightarrow 0$ wyraża się całką

$$P = \frac{8\pi}{h^3} \int_0^{p_F} p^2 (\mu - E) dp$$

gdzie $E^2 = p^2 + m^2$, $\mu^2 = p_F^2 + m^2$. Całkę da się obliczyć

$$P = \frac{8\pi m^4 c^5}{h^3} f\left(\frac{p_F}{mc}\right) / 24, \quad f(x) = (2x^3 - 3x)\sqrt{x^2 + 1} + 3 \operatorname{arsinh} x$$

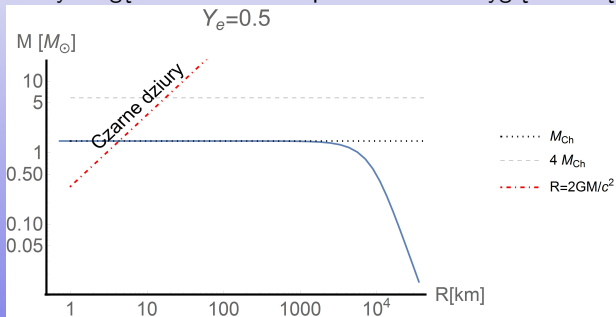
Analogicznie, gęstość energii (wliczając mc^2 !) to

$$\varepsilon = \frac{8\pi m^4 c^5}{h^3} g(x) / 8, \quad g(x) = (2x^3 + x)\sqrt{x^2 + 1} - \operatorname{arsinh} x$$

Gęstość cząstek jest najłatwiejsza do obliczenia:

$$n_e = \frac{8\pi}{h^3} \frac{p_F^3}{3}, \quad n_e = n_B Y_e \simeq \frac{\rho Y_e}{m_p}$$

Równanie stanu zdegenerowanego gazu elektronowego pozwala rozwiązać newtonowskie równania struktury, gdyż pęd Fermiego w trywialny sposób zależy od gęstości. Zależność promień- masa wygląda następująco:

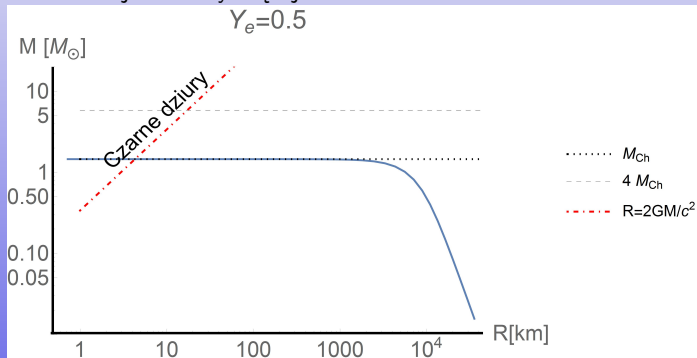


Ponieważ dla $x \rightarrow \infty f(x) \rightarrow 2x^4$, otrzymujemy model politropowy z $n = 3$, dla którego:

$$M_{Ch} = \frac{\sqrt{3\pi}}{2} (-w_3'(z_3)z_3^2) Y_e^2 \frac{m_p^3}{m_p^2} \simeq 1.46 M_\odot (2Y_e)^2$$

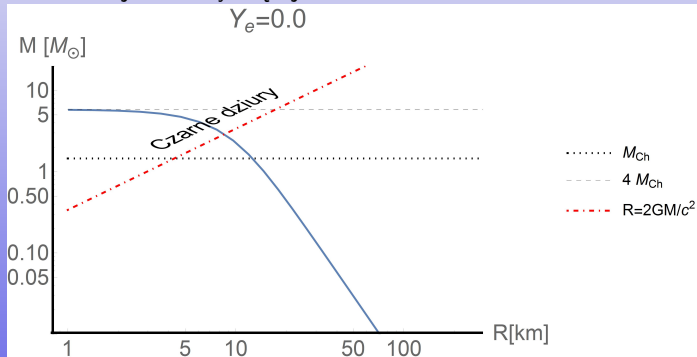
gdzie w nawiasie mamy zero i nachylenie w zerze f. Lane-Emdena, $m_p = \sqrt{\hbar c/G}$ to masa Plancka, a m_p – masa protonu (dokładniej: atomowa jednostka masy).

Ze wzoru na M_{Ch} wynika, iż nie zależy ona od typu fermionów o spinie 1/2 wytwarzających ciśnienie (elektrony, neutrony, neutrina). Np: masa graniczna kuli zbudowanej z neutronów to po prostu $4M_{Ch}$, ale tylko z tego powodu, iż neutronów jest 2 razy więcej.



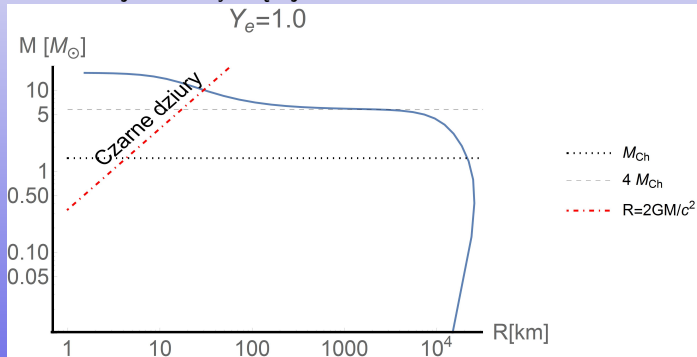
Powyższe wyniki są błędne i stanowią jedynie ilustrację, uzasadniającą użycie Ogólnej Teorii Względności (OTW).

Ze wzoru ma M_{Ch} wynika, iż nie zależy ona od typu fermionów o spinie 1/2 wytwarzających ciśnienie (elektrony, neutrony, neutrina). Np: masa graniczna kuli zbudowanej z neutronów to po prostu $4M_{Ch}$, ale tylko z tego powodu, iż neutronów jest 2 razy więcej.



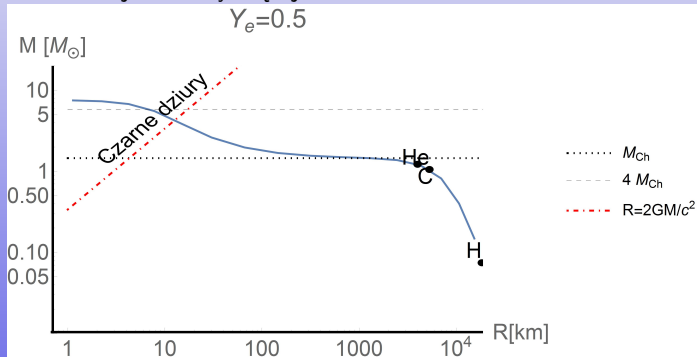
Powyższe wyniki są błędne i stanowią jedynie ilustrację, uzasadniającą użycie Ogólnej Teorii Względności (OTW).

Ze wzoru ma M_{Ch} wynika, iż nie zależy ona od typu fermionów o spinie 1/2 wytwarzających ciśnienie (elektrony, neutrony, neutrina). Np: masa graniczna kuli zbudowanej z neutronów to po prostu $4M_{Ch}$, ale tylko z tego powodu, iż neutronów jest 2 razy więcej.



Powyższe wyniki są błędne i stanowią jedynie ilustrację, uzasadniającą użycie Ogólnej Teorii Względności (OTW).

Ze wzoru na M_{Ch} wynika, iż nie zależy ona od typu fermionów o spinie 1/2 wytwarzających ciśnienie (elektrony, neutrony, neutrina). Np: masa graniczna kuli zbudowanej z neutronów to po prostu $4M_{Ch}$, ale tylko z tego powodu, iż neutronów jest 2 razy więcej.



Powyższe wyniki są błędne i stanowią jedynie ilustrację, uzasadniającą użycie Ogólnej Teorii Względności (OTW).

Metryka czasoprzestrzeni sferycznie symetrycznej:

$$ds^2 = g_{tt}(r)c^2 dt^2 + g_{rr}(r)dr^2 + R(r)^2 (\sin^2\theta d\phi^2 + d\theta^2)$$

Wybór funkcji $R(r)$ definiuje sposób mierzenia współrzędnej radialnej. Dla $R = r$ wzory na obwód okręgu i pole sfery o środku w centrum są identyczne jak w płaskiej przestrzeni.

Funkcje g_{tt} i g_{rr} muszą zostać wyliczone z równań Einsteina. Znając z góry wynik, możemy ułatwić sobie życie przededefiniowaniem

$$g_{tt} = - \left(1 + \frac{2\Phi(r)}{c^2} \right), \quad g_{rr} = \frac{1}{1 - \frac{2Gm(r)}{c^2 r}}.$$

Funkcja Φ to odpowiednik newtonowskiego potencjału grawitacyjnego, natomiast $m(r)$ masy zawartej wewnątrz sfery promieniu r .

Równania Einsteina można zapisać w niewiele mówiącej studentowi formie:

$$G_{\mu\nu} = \frac{8\pi G}{c^2} T_{\mu\nu}$$

Tensor Einsteina $G_{\mu\nu}$ wyliczamy z metryki $g_{\mu\nu}$, a tensor energii-pędu $T_{\mu\nu}$ płynu to:

$$T_{\mu\nu} = (\varepsilon + P)U_\mu U_\nu + P g_{\mu\nu}.$$

W gwiazdzie materia spoczywa, co daje np: z warunku normalizacji

$U^\mu U_\mu = -1$ czteroprędkość U_μ

$$U_\mu = \left\{ \frac{1}{\sqrt{-g_{tt}}}, 0, 0, 0 \right\}.$$

Obliczenie tensora $G_{\mu\nu}$ jest pracochłonne, i można wykonać je np: pakietem **ccgrg**, Copernicus Center General Relativity Package,
<http://library.wolfram.com/infocenter/MathSource/8848/>

$$\frac{dP}{dr} = - \frac{G(m + 4\pi r^3 P/c^2)(\rho + P/c^2)}{r(r - \frac{2Gm}{c^2})} \quad (3a)$$

$$\frac{dm}{dr} = 4\pi r^2 \rho, \quad \varepsilon \equiv \rho c^2, \quad \rho \neq m_p n_B \quad (3b)$$

$$\frac{d\Phi}{dr} = \frac{G(m + 4\pi r^3 P/c^2)(1 + 2\Phi/c^2)}{r(r - \frac{2Gm}{c^2})} \quad (3c)$$

Dla porównania wersja newtonowska ($c \rightarrow \infty$):

$$\frac{dP}{dr} = - \frac{Gm\rho}{r^2} \quad (4a)$$

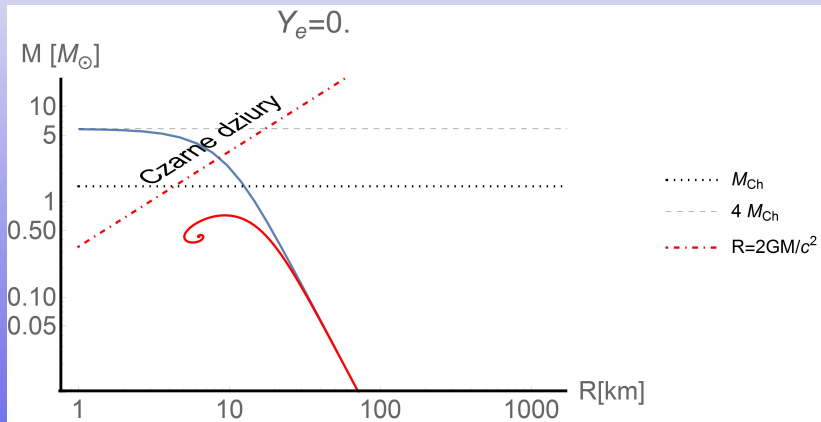
$$\frac{dm}{dr} = 4\pi r^2 \rho \quad (4b)$$

$$\frac{d\Phi}{dr} = \frac{Gm}{r^2} \quad (4c)$$

- w przyciąganiu grawitacyjnym bierze udział całkowita energia ε , włączając m.in: masę „spoczynkową” (barionową) i energię kinetyczną
- ciśnienie powoduje dodatkowe przyciąganie
- grawitacja wpływa na geometrię, co istotnie zmienia opis gdy $r \sim \frac{2GM}{c^2}$

OTW **musimy** wziąć pod uwagę dla:

- 1 gwiazd neutronowych
- 2 supernowych implozyjnych
- 3 w kosmologii
- 4 w ewolucji gwiazd o masach $M \sim 100M_{\odot}$ i większych, gdzie ciśnienie promieniowania dominuje
- 5 soczewkowaniu grawitacyjnym
- 6 emisji fal grawitacyjnych
- 7 **czarnych dziur** i procesów zachodzących w ich pobliżu



Dla mas obiektów zwartych $M \gg 2M_{\odot}$ nie są znane siły zdolne utrzymać równowagę hydrostatyczną. Musi powstać *czarna dziura*:

$$ds^2 = - \left(1 - \frac{2GM}{c^2 r} \right) c^2 dt^2 + \frac{1}{1 - \frac{2GM}{c^2 r}} dr^2 + r^2 \left(\sin^2 \theta d\phi^2 + d\theta^2 \right)$$

Wielkość $r_g = \frac{2GM}{c^2}$ nazywamy promieniem Schwarzschilda lub grawitacyjnym. Powierzchnia określona jako $r = r_g$ to *horyzont zdarzeń*. W astrofizyce spotykamy je w formie:

- o masach gwiazdowych, kilka-kilkanaście M_{\odot} ; powstają w kolapsie i zderzeniach gwiazd neutronowych
- supermasywne, o masach milionów M_{\odot} i więcej; występują w centrach galaktyk

Proces pochłaniania materii przez cz. dz. jest efektywnym mechanizmem konwersji masy w energię, z wydajnością do $\sim 10\%$.